


| | | | |
|------------|---|-----------------|-----------------|
| Fabricante |  | Test numero | EAPR-GS-7513/12 |
| | | Localidad | Achensee |
| Tipo | Prion 2 M | Bad Grönenbach: | 13.04.12 |



EAPR e.V - Marktstr. 11 - D-87730 Bad Grönenbach - Germany

| | Peso minimo en vuelo | | Peso maximo en vuelo |
|------------------|------------------------|--|----------------------|
| Fecha de ensayo | 25.03.12 | | 27.03.12 |
| Piloto de ensayo | Hannes Tschofen |  | Anselm Rauh |
| Sillas | Academy Test Equipment | | EAPR Testequipment |
| Peso al despegar | 90 kg | | 110 kg |

| | |
|---------------|---|
| Clasificacion | A |
|---------------|---|



| Test criterios | 40993 | Evaluacion | 40996 | Evaluacion | | | |
|--|----------------------------------|---|--|---|---------|----------------------------|---|
| 1. Inflado/despegue - 4.1.1 | | | | | | | |
| Comportamiento en elevacion | Suave, progresivo y regular | A | Suave, progresivo y regular | A | | | |
| Requerimiento de tecnica especial para el despegue | No | A | No | A | | | |
| 2. Aterisaje - 4.1.2 | | | | | | | |
| Tecnica de despegue especial requerida | No | A | No | A | | | |
| 3. Velocidad en vuelo recto - 4.1.3 | | | | | | | |
| Velocidad brazos altos superior a 30 km/h | Si | A | Si | A | | | |
| Rango de velocidad al mando superior a 10 km/h | Si | A | Si | A | | | |
| Velocidad minima | inferior a 25 km/h | A | inferior a 25 km/h | A | | | |
| 4. Esfuerzo al mando - 4.1.4 | | | | | | | |
| Evaluacion, peso maximo en vuelo hasta 80 kg | | - | | - | | | |
| Evaluacion, peso maximo en vuelo de 80 kg hasta 100 kg | Aumento > 60cm | A | | - | | | |
| Evaluacion, peso maximo en vuelo superior a 100 kg | | - | Aumento >65 cm | A | | | |
| 5 Estabilidad mareo en salida de vuelo acelerado - 4.1.5 | | | | | | | |
| Angulo de abatimiento en salida | Abatimiento inferior a 30 grados | A | Abatimiento inferior a 30 grados | A | | | |
| Colapso efectivo | No | A | No | A | | | |
| 6. Estabilidad mareo durante una accion al mando en vuelo acelerado - 4.1.6 | | | | | | | |
| Colapso efectivo | No | A | No | A | | | |
| 7. Estabilidad y regulacion del balanceo - 4.1.7 | | | | | | | |
| Oscilacion | Reducidos | A | Reducidos | A | | | |
| 8. Estabilidad durante una espiral moderada - 4.1.8 | | | | | | | |
| Tendencia a la vuelta al vuelo recto | Salida espontanea | A | Salida espontanea | A | | | |
| 9. Comportamiento durante un giro rapido a 360 grados - 4.1.9 | | | | | | | |
| Tasa de caida despues de dos curvas | Hasta 12 m/s | A | 12m/s hasta 14 m/s | A | | | |
| 10. Cerramiento frontal simetrico - 4.1.10 | | | | | | | |
| Entrada | Paso acelerado | Volceo hacia atras inferior a 45 grados | A | Volceo hacia atras inferior a 45 grados | A | | |
| Salida | | Esponanea inferior a 3s | A | Esponanea inferior a 3s | A | | |
| Angulo de abatimiento en salida | | 0°- 30° | Manteniendo la trayectoria | A | 0°- 30° | Manteniendo la trayectoria | A |
| Cascada efectiva | | No | | A | No | | A |
| Entrada | acelerado | Volceo hacia atras inferior a 45 grados | A | Volceo hacia atras inferior a 45 grados | A | | |
| Salida | | Esponanea inferior a 3s | A | Esponanea inferior a 3s | A | | |
| Angulo de abatimiento en salida | | 0°- 30° | Entrada en curva de menos de 90 grados | A | 0°- 30° | Manteniendo la trayectoria | A |
| Cascada efectiva | | No | | A | No | | A |
| 11. Salida de fase paracaidal - 4.1.11 | | | | | | | |

| | | | | | | | | | | | |
|--|---|------------------------|----------------------------------|---|---|------------------------|-------|----------------------------------|-----------|--|---|
| Fase paracaída cumplida | Si | | | Si | | | | | | | |
| Salida | Esponanea inferior a 3s | | A | Esponanea inferior a 3s | | | | A | | | |
| Angulo de abatimiento en salida | 0° - 30° | | A | 0° - 30° | | | | A | | | |
| Cambio de trayectorio | Cambio de trayectoria inferior a 45 grados | | A | Cambio de trayectoria inferior a 45 grados | | | | A | | | |
| Cascada efectiva | No | | A | No | | | | A | | | |
| 12. Salida de pasaje a angulos de incidencia - 4.1.12 | | | | | | | | | | | |
| Salida | Esponanea inferior a 3s | | A | Esponanea inferior a 3s | | | | A | | | |
| Cascada efectiva | No | | A | No | | | | A | | | |
| 13. Salida de un rodeo estabilizado mantenido - 4.1.13 | | | | | | | | | | | |
| Angulo de abatimiento en salida | 0° - 30° | | A | 0° - 30° | | | | A | | | |
| Colapso efectivo | Sin colapso | | A | Sin colapso | | | | A | | | |
| Cascada efectiva | No | | A | No | | | | A | | | |
| Bascula hacia atras | Inferior a 45 grados | | A | Inferior a 45 grados | | | | A | | | |
| tension de las cuerdas | Tension de casi todas las lineas | | A | Tension de casi todas las lineas | | | | A | | | |
| 14. Cerramiento asimetrico - 4.1.14 | | | | | | | | | | | |
| Cambio de trayectorio antes del reinflado | Sin aceleracion, max 50 por cientos colapso | < 90° | Abatimiento comprendido entre | 0° - 15° | | A | < 90° | Abatimiento comprendido entre | 0° - 15° | | A |
| Comportamiento al reinflado | | Re-inflado instantaneo | | | A | Re-inflado instantaneo | | | A | | |
| Cambio total de trayectorio | | Inferior a 360 grados | | | A | Inferior a 360 grados | | | A | | |
| Cerradura efectiva al lado opuesto | | No | | | A | No | | | A | | |
| Twist efectivo | | No | | | A | No | | | A | | |
| Cascada efectiva | | No | | | A | No | | | A | | |
| Cambio de trayectorio antes del reinflado | Sin aceleracion, max 75 por cientos colapso | < 90° | Abatimiento comprendido entre | 15° - 45° | | A | < 90° | Abatimiento comprendido entre | 15° - 45° | | A |
| Comportamiento al reinflado | | Re-inflado instantaneo | | | A | Re-inflado instantaneo | | | A | | |
| Cambio total de trayectorio | | Inferior a 360 grados | | | A | Inferior a 360 grados | | | A | | |
| Cerradura efectiva al lado opuesto | | No | | | A | No | | | A | | |
| Twist efectivo | | No | | | A | No | | | A | | |
| Cascada efectiva | | No | | | A | No | | | A | | |
| Cambio de trayectorio antes del reinflado | Acelerado, max 50 por cientos colapso | < 90° | Abatimiento comprendido entre | 0° - 15° | | A | < 90° | Abatimiento comprendido entre | 15° - 45° | | A |
| Comportamiento al reinflado | | Re-inflado instantaneo | | | A | Re-inflado instantaneo | | | A | | |
| Cambio total de trayectorio | | Inferior a 360 grados | | | A | Inferior a 360 grados | | | A | | |
| Cerradura efectiva al lado opuesto | | No | | | A | No | | | A | | |
| Twist efectivo | | No | | | A | No | | | A | | |
| Cascada efectiva | | No | | | A | No | | | A | | |
| Cambio de trayectorio antes del reinflado | Acelerado, max 75 por cientos colapso | < 90° | Abatimiento comprendido entre | 15° - 45° | | A | < 90° | Abatimiento comprendido entre | 15° - 45° | | A |
| Comportamiento al reinflado | | Re-inflado instantaneo | | | A | Re-inflado instantaneo | | | A | | |
| Cambio total de trayectorio | | Inferior a 360 grados | | | A | Inferior a 360 grados | | | A | | |
| Cerradura efectiva al lado opuesto | | No | | | A | No | | | A | | |
| Twist efectivo | | No | | | A | No | | | A | | |
| Cascada efectiva | | No | | | A | No | | | A | | |
| 15. Control de trayecto con cerradura asimetrica mantenida - 4.1.15 | | | | | | | | | | | |
| Capacidad en vuelo recto | Si | | A | Si | | | | A | | | |
| Curva a 180 grados en diez segundos , por el lado opuesto a la cerradura | Si | | A | Si | | | | A | | | |
| Porcentage de mando entre la curva y el colapso | Superior a 50 per cientos al debatismo de los mandos simetricos | | A | Superior a 50 per cientos al debatismo de los mandos simetricos | | | | A | | | |
| 16. Tendencia al descontrol / vuelta brazos en alto - 4.1.16 | | | | | | | | | | | |
| Colapso efectivo | No | | A | No | | | | A | | | |
| 17. Prueba de tendencia al descontrol a baja velocidad - 4.1.17 | | | | | | | | | | | |
| Colapso efectivo | No | | A | No | | | | A | | | |
| 18. Salida de un volceo desarrollado - 4.1.18 | | | | | | | | | | | |
| Angulo de rotacion despues de soltar los mandos | Sale de la espiral en menos de 90 grados | | A | Sale de la espiral en menos de 90 grados | | | | A | | | |
| Cascada efectiva | No | | A | No | | | | A | | | |
| 19. Descolgamiento a los B - 4.1.19 | | | | | | | | | | | |
| Cambio de trayectorio antes de soltar | Cambio de trayectoria inferior a 45 grados | | A | Cambio de trayectoria inferior a 45 grados | | | | A | | | |
| Comportamiento antes de soltar | Manten de la estabilidad con envergadura recta | | A | Manten de la estabilidad con envergadura recta | | | | A | | | |
| Salida | Esponanea inferior a 3s | | A | Esponanea inferior a 3s | | | | A | | | |
| Angulo de abatimiento en salida | 0° - 30° | | A | 0° - 30° | | | | A | | | |
| Cascada efectiva | No | | A | No | | | | A | | | |
| 20. Orejas grandes - 4.1.20 | | | | | | | | | | | |
| Procedimiento de entrada | Mandos especificos | | A | Mandos especificos | | | | A | | | |
| Comportamiento mientras orejas grandes | Vuelo estabil | | A | Vuelo estabil | | | | A | | | |
| Salida | Esponanea inferior a 3s | | A | Esponanea inferior a 3s | | | | A | | | |
| Angulo de abatimiento en salida | 0° - 30° | | A | 0° bis 30° | | | | A | | | |
| 21. Orejas grandes en vuelo acelerado - 4.1.21 | | | | | | | | | | | |
| Procedimiento de entrada | Mandos especificos | | A | Mandos especificos | | | | A | | | |
| Comportamiento mientras orejas grandes | Vuelo estabil | | A | Vuelo estabil | | | | A | | | |
| Salida | Esponanea inferior a 3s | | A | Esponanea inferior a 3s | | | | A | | | |
| Angulo de abatimiento en salida | 0° - 30° | | A | 0° bis 30° | | | | A | | | |
| Comportamiento despues de soltar el acceleador orejas grandes mantenidas | Vuelo estabil | | A | Vuelo estabil | | | | A | | | |
| 22. Comportamiento en salida de espiral - 4.1.22 | | | | | | | | | | | |

| | | | | |
|--|--|----|---|----|
| Tendencia a la vuelta al vuelo recto | Salida espontanea | A | Salida espontanea | A |
| Angulo de rotacion para volver al vuelo normal | Inferior a 720 grados , salida espontanea | A | Inferior a 720 grados , salida espontanea | A |
| 23. Mandos de direccion alternativa - 4.1.23 | | | | |
| Curva a 180 grados posible en 20 s | Si | A | Si | A |
| Descolgamiento o colapso efectivo | No | A | No | A |
| 24. Otro procedimiento o configuracion de vuelo que los descritos en el manual - 4.1.24 | | | | |
| Funcionamiento correcto del procedimiento | | NA | | NA |
| Procedimiento adaptado a los pilotos principiantes | | NA | | NA |
| Cascada efectiva | | NA | | NA |
| 25. Observaciones del piloto de ensayo | | | | |
| | | | | |
| | | | | |
| | | | | |
| | | | | |
| Copyright Ralf Antz 2010 | Este informe de vuelo ha sido generado automaticamente y no necesita firma | | | |